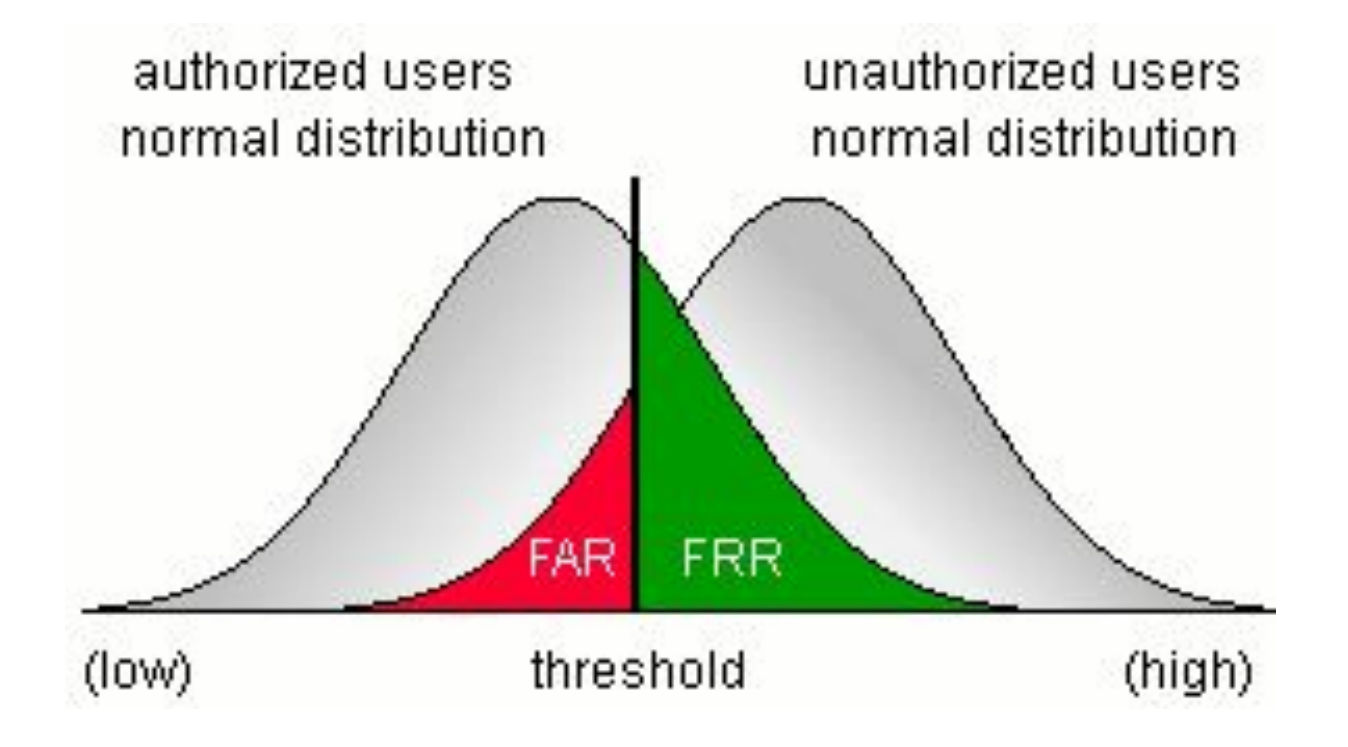
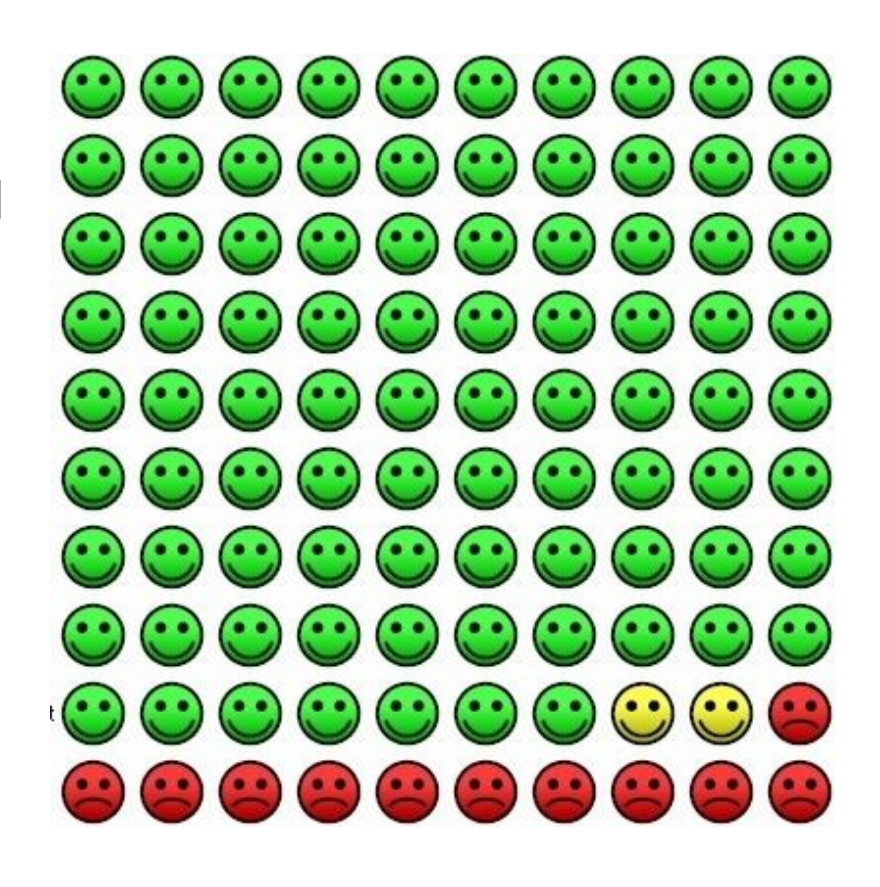


Характеристики системы

- FAR (False Acceptance Rate) характеризует вероятность ложного совпадения биометрических характеристик двух людей
- FRR(False Rejection Rate) вероятность отказа доступа человеку, имеющего допуск
- EER, точка в которой графики FRR и FAR пересекаются
- Устойчивость к окружающей среде
- Простота использования
- Скорость работы
- Стоимость системы



- FAR равным 0.1% (хвалёные 99.9%).
- Предположим, что сам с собой человек совпадает всегда (FRR=0, хотя это будет далеко не так)
- Предположим, в компании работает 100 человек
- При FAR=0.1% человек будет принят за кого-то другого примерно в 100*0.1=10% случаев. То есть из 100 сотрудников 10 человек будут проходить как другие люди каждый день



FRR проблемы

Сканер не заметит, что у него кто-то появился в поле зрения Сканер неправильно выставит фокус Сканер засвечен солнцем Сканер захватит не то что нужно Параметры моей биометрической характеристики находятся вне пределах работы алгоритма: огромная/маленькая рука, ожог лица, изменённая геометрия радужки Базы на которых работает алгоритм распознавания голоса обычно набирают не в метро и не на самых плохих телефонах.

•
$$FAR * N^2 \approx 1$$

•
$$N \approx \sqrt{\frac{1}{FAR}}$$
 (1)

• FAR=0.1% =0.001 N=30

худшие алгоритмы FAR~0.1%, FRR~6%

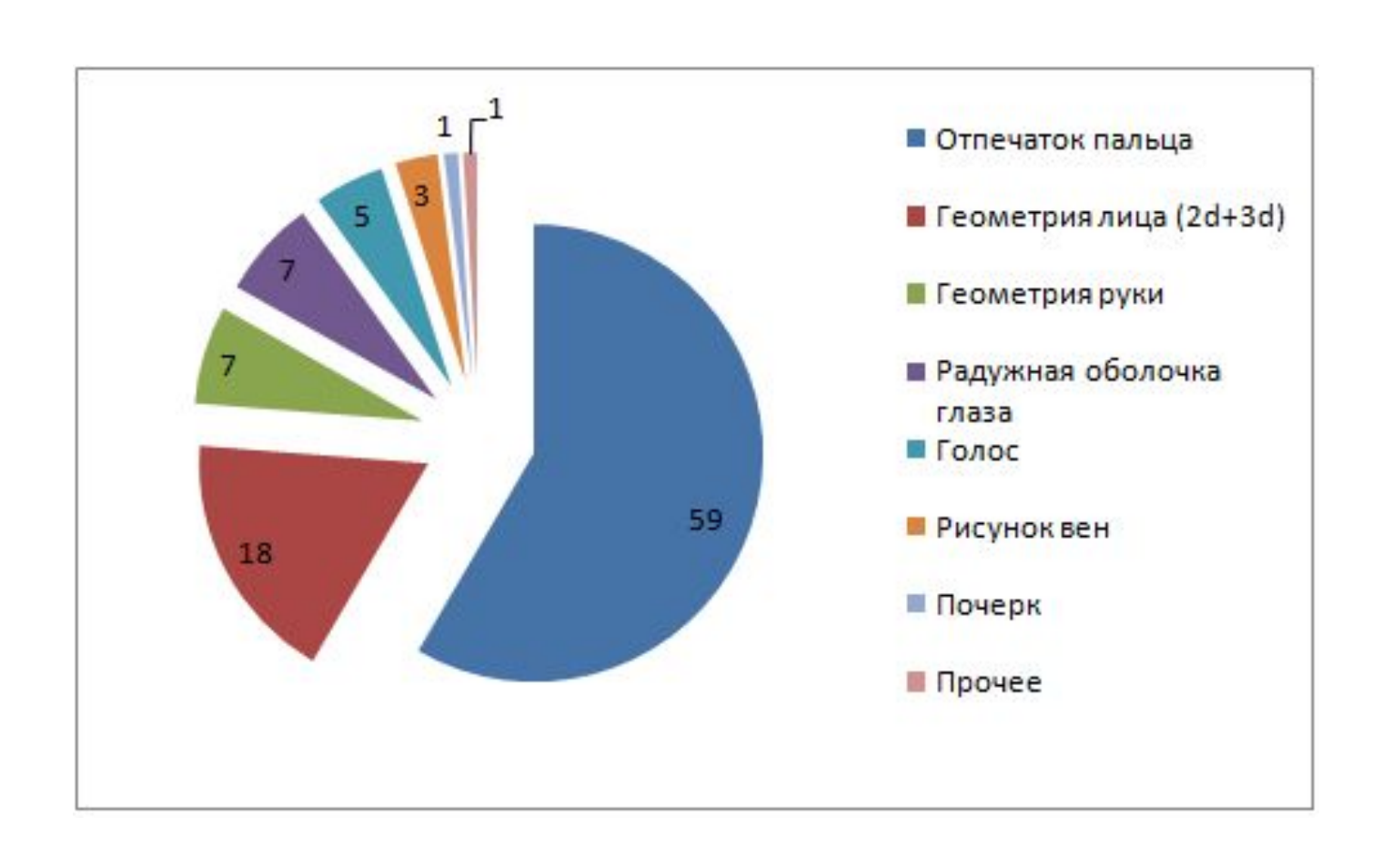
Классика жанра

- •По отпечатку пальца
- •По голосу
- •По внешнему облику



IAM (Identity Access Management)

Дополнения



Дактилоскопия (распознавание отпечатков пальцев)



~0.057% ошибочно найденных дубликатов, из которых 20% как раз и приходятся на совпадения шаблонов от разных людей

Уникальность отпечатка пальца?

- Проблема совпадений у членов семьи могут быть одинаковые элементы папиллярных узоров
- Проблема точности смазанность и грязь
- Слабочитаемость в 200-300 человек находится 1-2 человека
- Порезы и царапины, вода
- Реактивы

- VeriFinger SDK
- Соревнование «International Fingerprint Verification Competition»

FAR	FRR
0,10%	0,30%
0,01%	0,40%
0,00%	0,60%
0,00%	0,90%

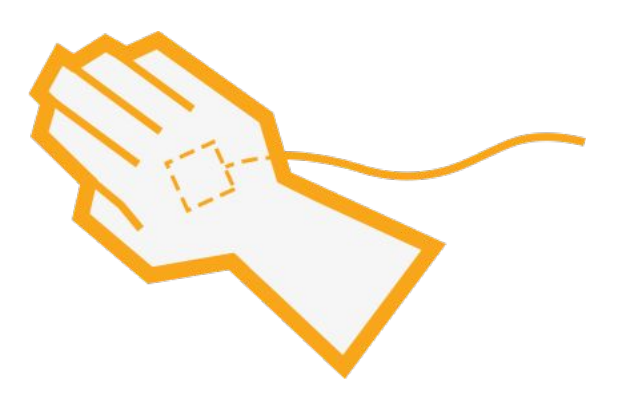
Характерное значение FAR – 0.001%. Из формулы (1) N≈300

Дополнительные методы

- Ладони
- Рисунок вен (Biosmart PV-WTC)



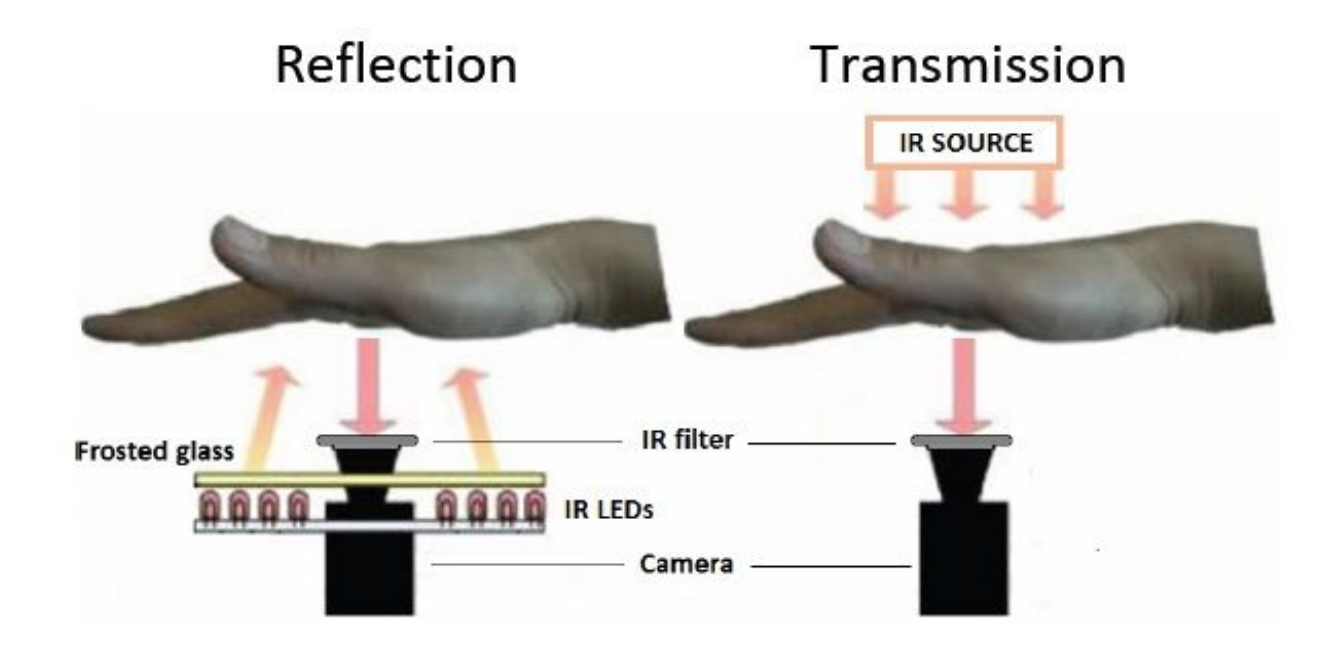




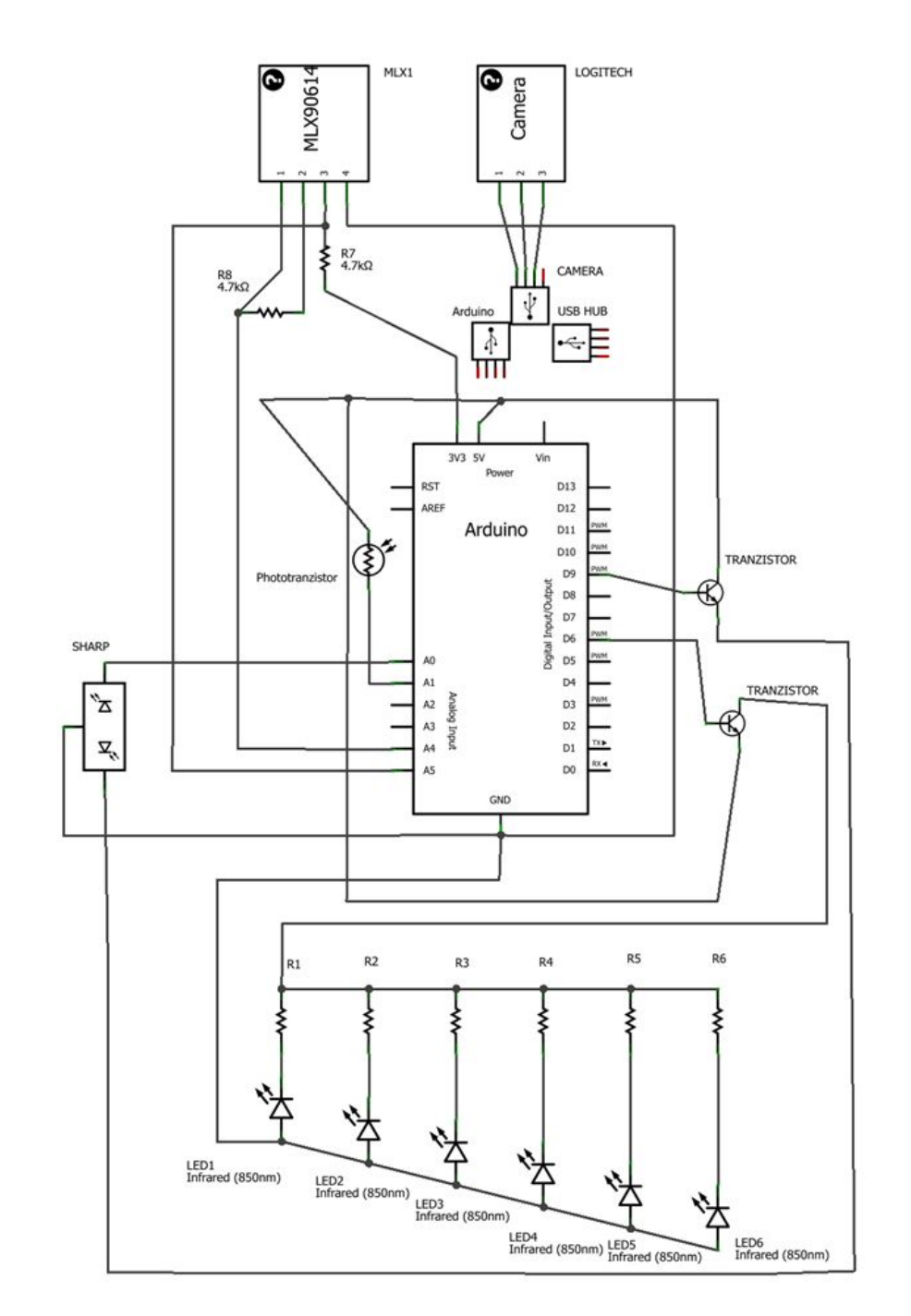
- FAR 0.0008%
- FRR 0.01%

How-to

https://habrahabr.ru/post/149424/



- Arduino Project Enclosure небольшой корпус для Arduino проектов
- Infrared Thermometer MLX90614 ИК-термометр
- USB HUB для подключения камеры и arduino одному кабелю
- ORduino Nano ATMega168
- Infrared Proximity Sensor Sharp GP2Y0A21YK ИК-датчик расстояния (от 10 до 80см)
- Logitech B910 HD Webcam
- 2 транзистора
- 2 резистора 4.7кОм, 6-470Ом
- 6 ИК-диодов 850нм
- Фототранзистор (для измерения засветки прибора посторонним светом, в экспериментах не участвовал, но планировался)
- USB В разъем
- IR Filter 850nmUSB-кабель



Радужка глаза?

- Chaos Computer Club
 - Фотоаппарат
 - принтер
 - контактная линза



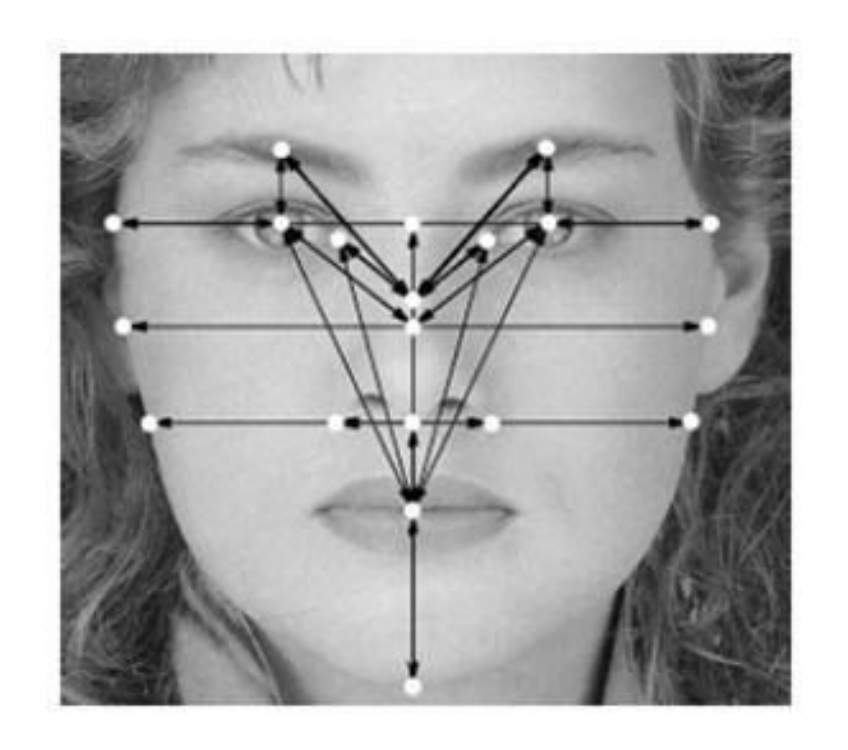
- EyeR SDK
- Алгоритмы VeriEye

FAR	FRR(Cas	FRR(Cas	
	ia1)	ia3)	
0,10%	0,05%	0,08%	
0,01%	0,05%	0,09%	
0,00%	0,13%	0,10%	
0,00%	0,13%	0,17%	
0,00%	0,13%	0,19%	

FAR - 0.00001% N≈3000

2-D распознавание лица

- Метод Виолы-Джонса
- Разрешающая способность
- Условия освещения



• FAR - 0.01%. N≈30

FAR	FRR
0,10%	2,50%
0,01%	5%
0,00%	6%
0,00%	9%

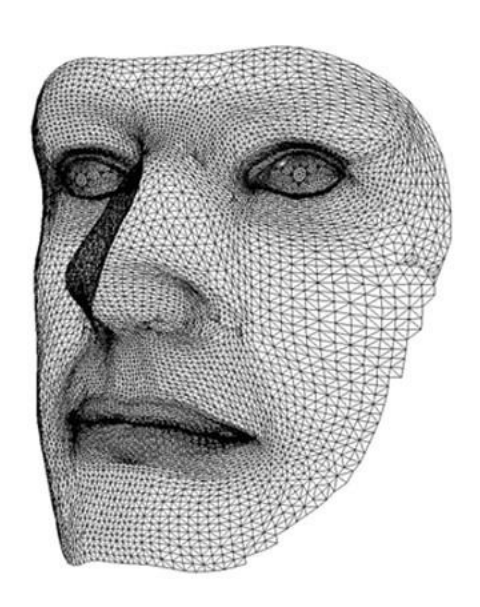
Mетод Viola Jones

- используются изображения в интегральном представлении, что позволяет вычислять быстро необходимые объекты;
- используются признаки Хаара, с помощью которых происходит поиск нужного объекта (в данном контексте, лица и его черт);
- используется бустинг (от англ. boost улучшение, усиление) для выбора наиболее подходящих признаков для искомого объекта на данной части изображения;
- все признаки поступают на вход классификатора, который даёт результат «верно» либо «ложь»;
- используются каскады признаков для быстрого отбрасывания окон, где не найдено лицо.

- https://habrahabr.ru/post/135244/
- https://habrahabr.ru/post/134857/
- https://habrahabr.ru/post/133909/
- https://habrahabr.ru/post/133826/

3-D распознавание лица

- FAR = 0.0047%
- FRR = 0.103%
- Аналог отпечатка пальца



Сетчатка глаза

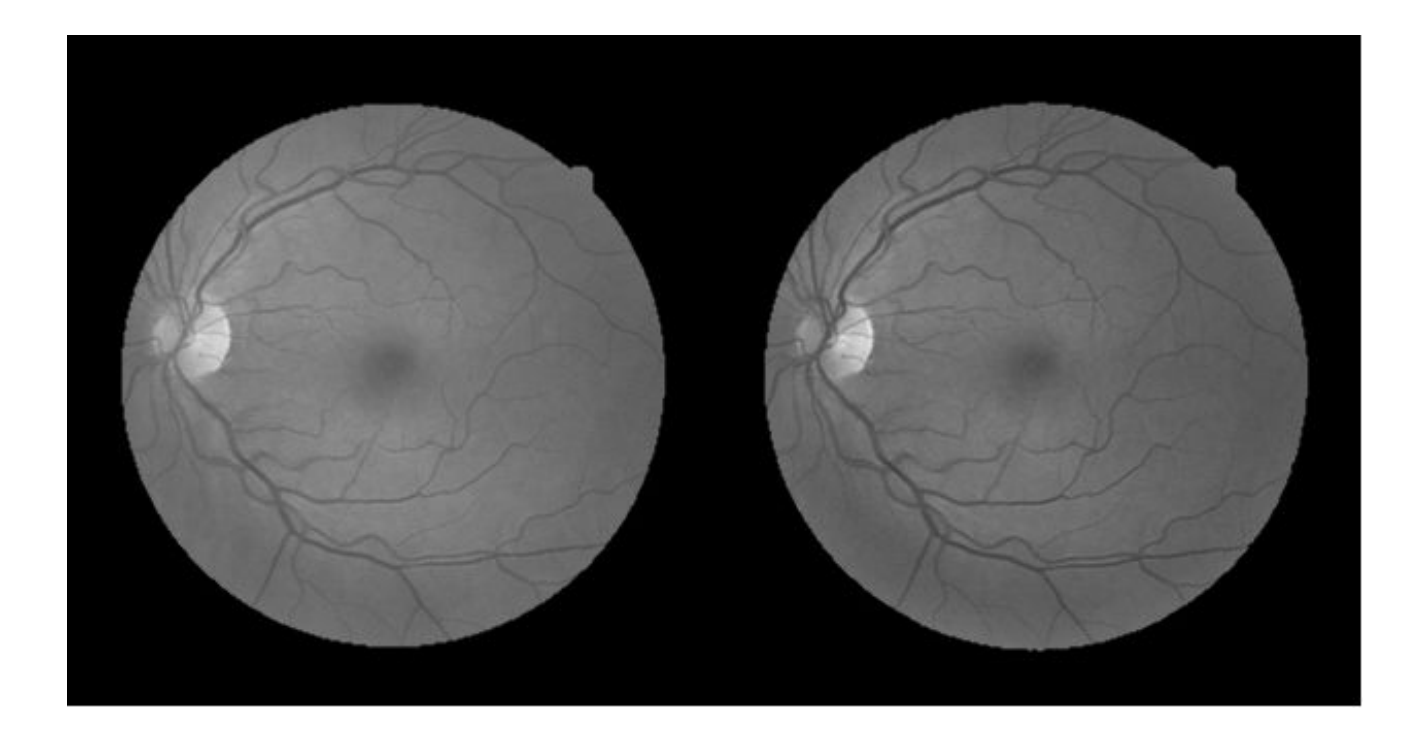
- FAR=0,001%
- FRR = 0,4%.



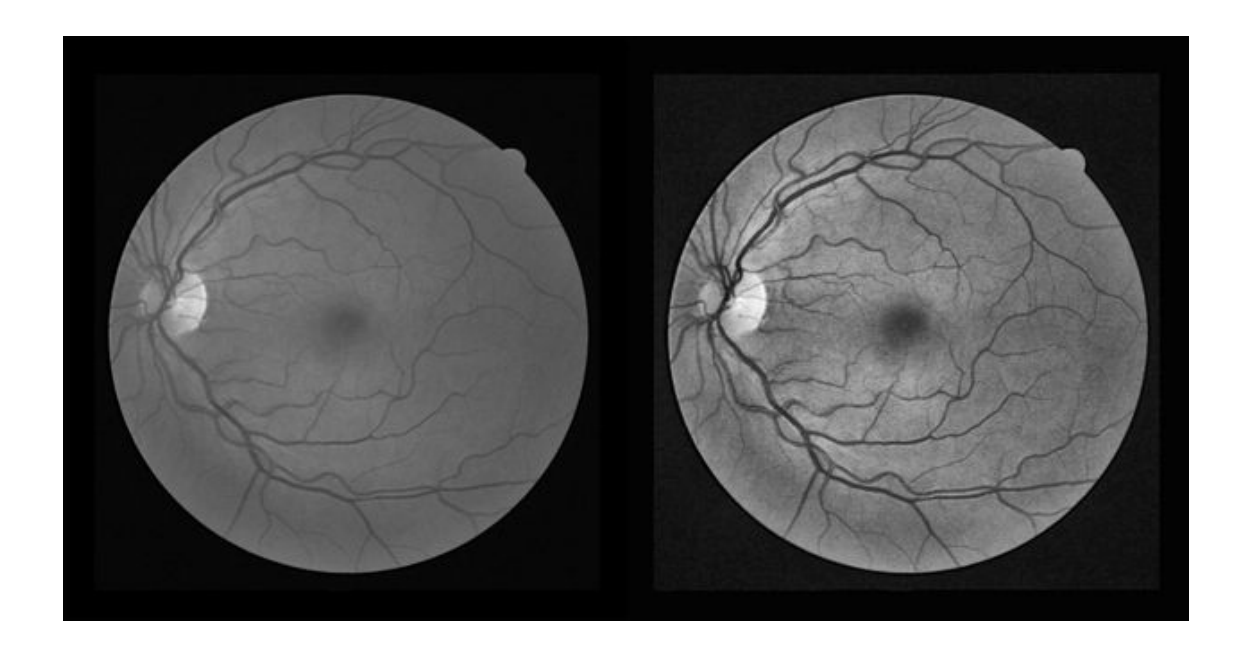
• Эндрю Баставрус напечатал на 3d принтере насадку для смартфона, которая позволяет наблюдать сетчатку через камеру телефона

Улучшение контрастности между фоном и кровеносными сосудами

G

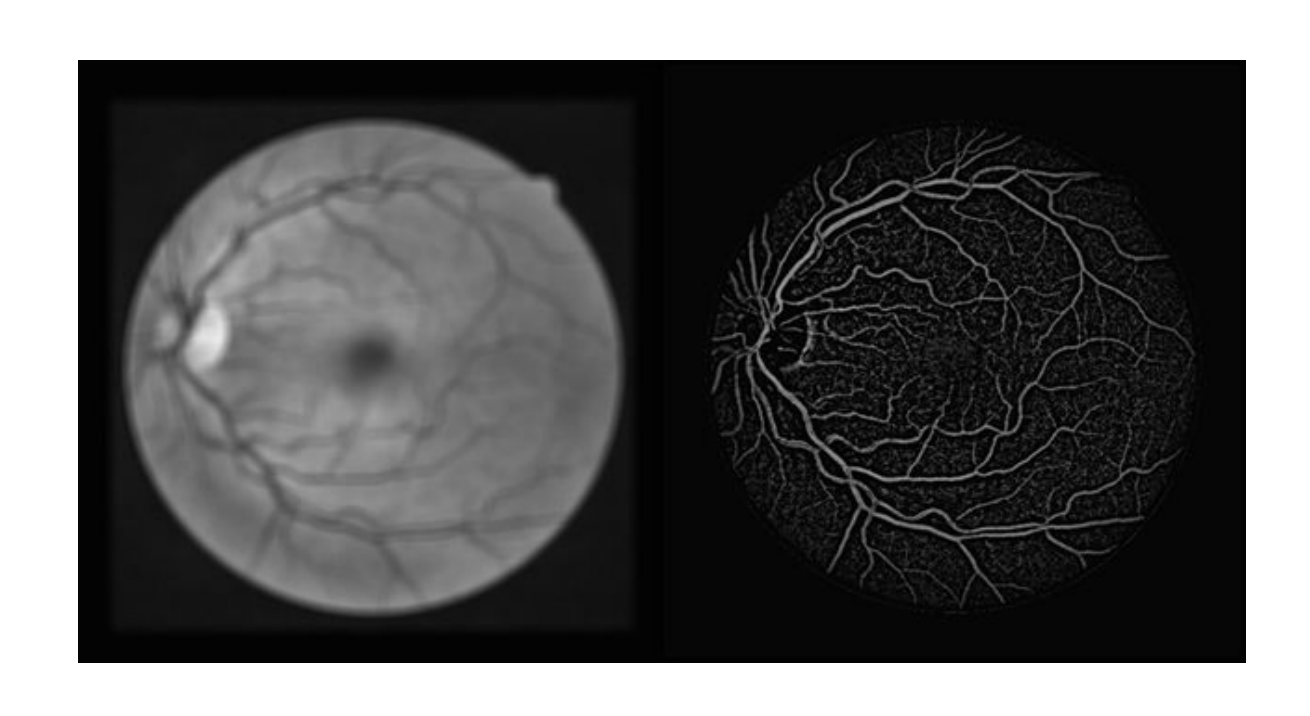


Выбор цветового канала

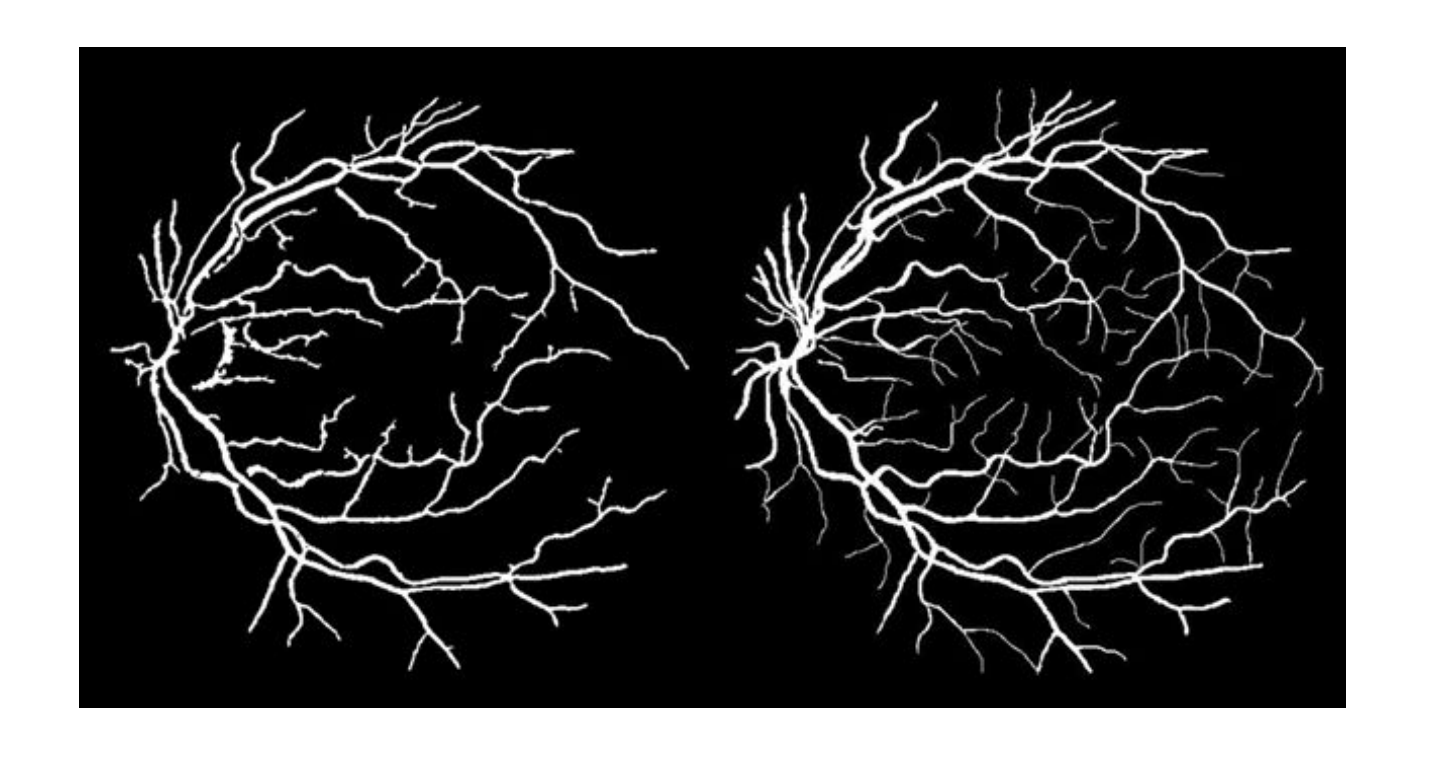


контрастно-ограниченное адаптивное выравнивание гистограммы (contrast limited adaptive histogram equalization – clahe)

Удаление фона при помощи average фильтра







автоматическое пороговое преобразование методом Otsu, медианный фильтр и фильтр по длине

Фильтр Габора

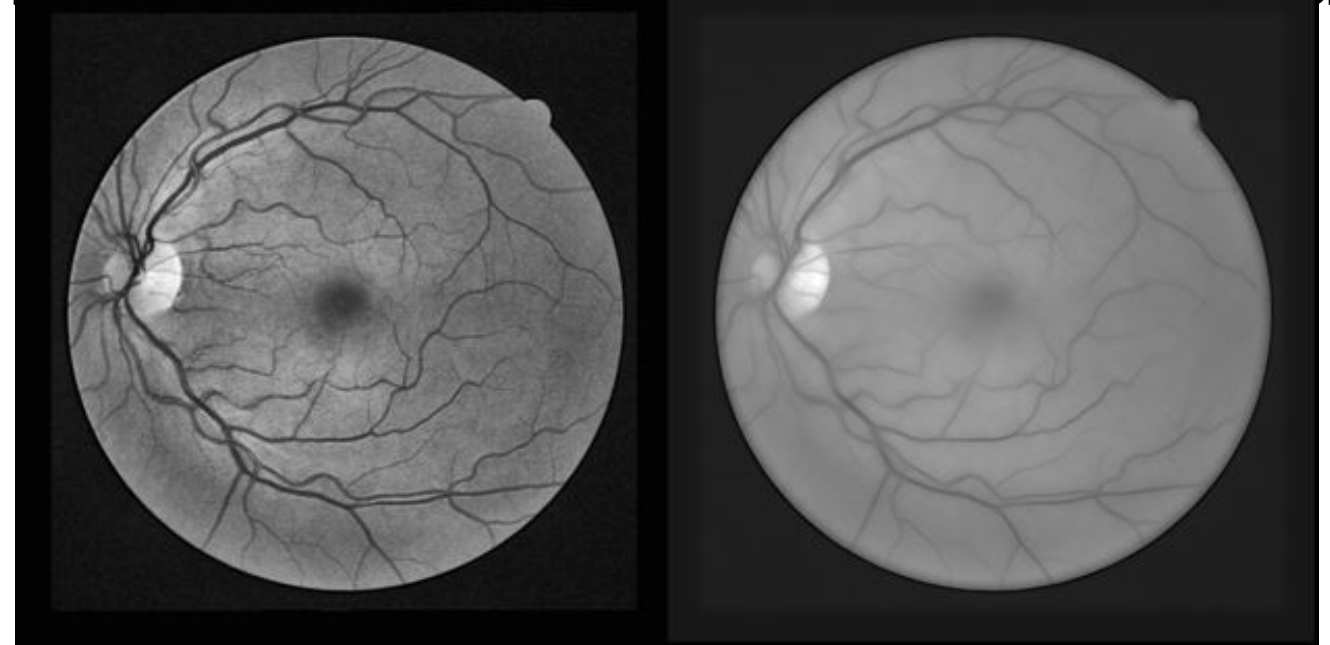
• Способен выделять прямые линии определённого размера и под определённым углом

$$g(x,y,\lambda,\theta,\psi,\sigma,\gamma) = exp \left(-\frac{x'^2 + \gamma^2 y'^2}{2\sigma^2} \right) cos \left(2\pi \frac{x}{\lambda} + \psi \right),$$

- $x' = x\cos\theta + y\sin\theta$;
- $y' = -x\sin\theta + y\cos\theta$;
- х, у координаты ядра в заранее заданных пределах;
- \(\lambda \text{период ядра в пикселях;} \)
- θ наклон ядра;
- σ дисперсия Гауссиана;
- ψ смещение фазы ядра;
- ү сжатие Гауссиана.

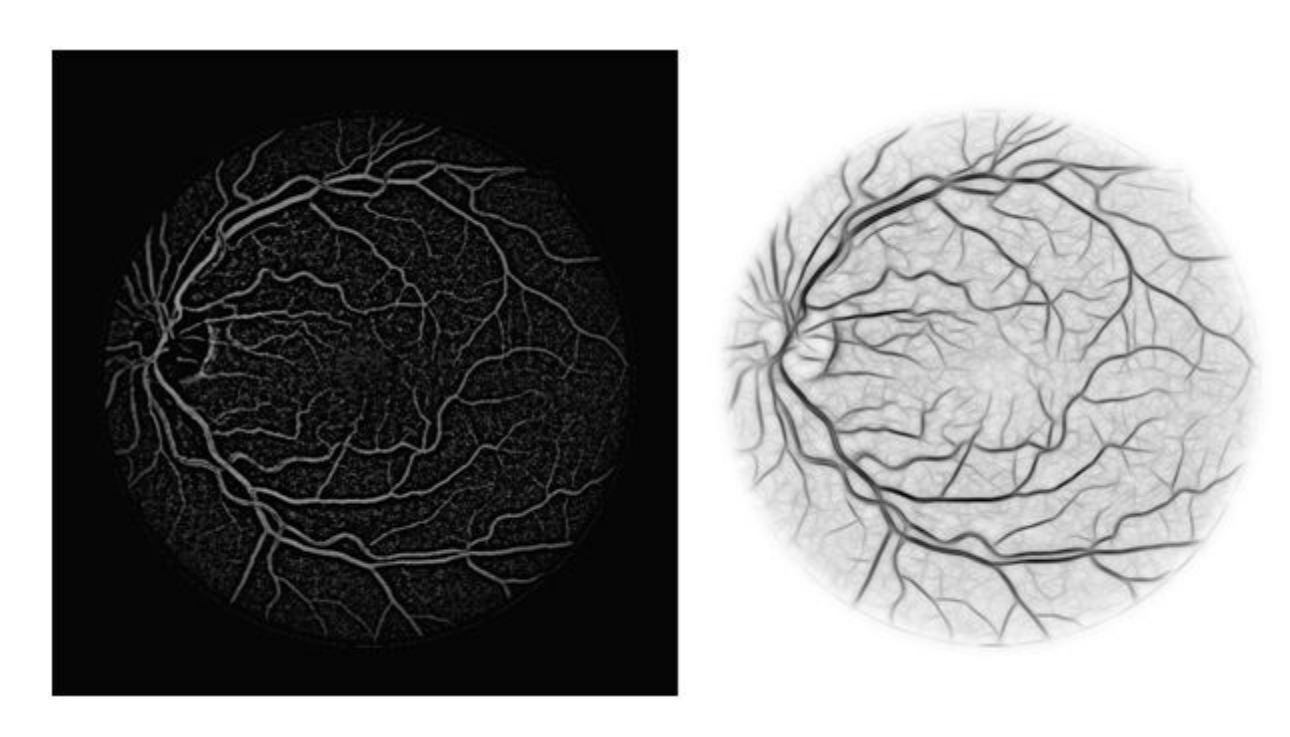
• применить фильтр Габора с различными углами наклона ядра

фильтров



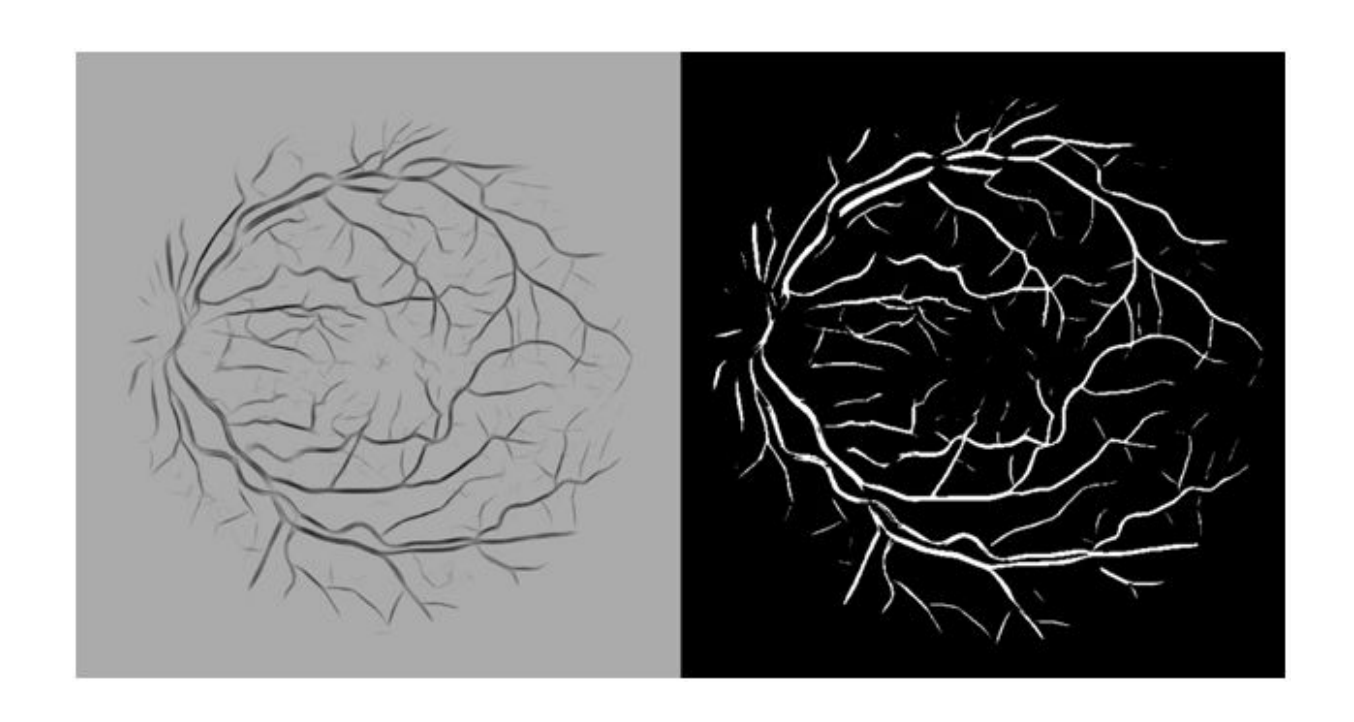
слева — исходное изображение после clahe, справа — результат применения серии габоровских фильтров

Удаление фона



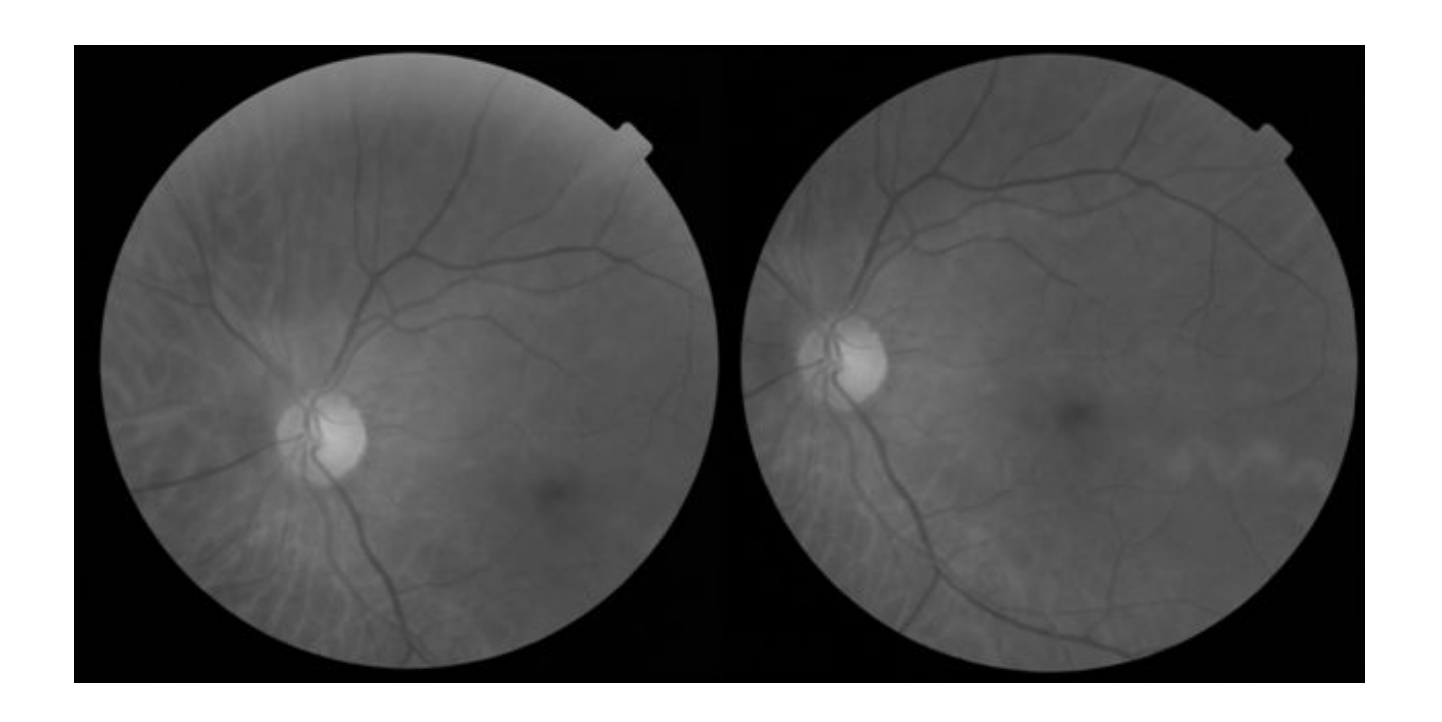
слева — исходное изображение, полученное при помощи алгоритма background exclusion, справа результат применения серии габоровских фильтров

Пороговое преобразование интенсивности изображения



слева — исходное изображение, полученное после перекрашивания пикселей в соответствии с параметром чувствительности, справа — результат метода Otsu

- Marwan D. Saleh, C. Eswaran, and Ahmed Mueen. An Automated Blood Vessel Segmentation Algorithm Using Histogram Equalization and Automatic Threshold Selection // Journal of Digital Imaging, Vol 24, No 4 (August), 2011, pp 564-572
- P. C. Siddalingaswamy, K. Gopalakrishna Prabhu. Automatic detection of multiple oriented blood vessels in retinal images // J. Biomedical Science and Engineering, 2010, 3, pp 101-107
- www.isi.uu.nl/Research/Databases/DRIVE
- www.ces.clemson.edu/~ahoover/stare



Результат движения головы и глаза при сканировании сетчатки

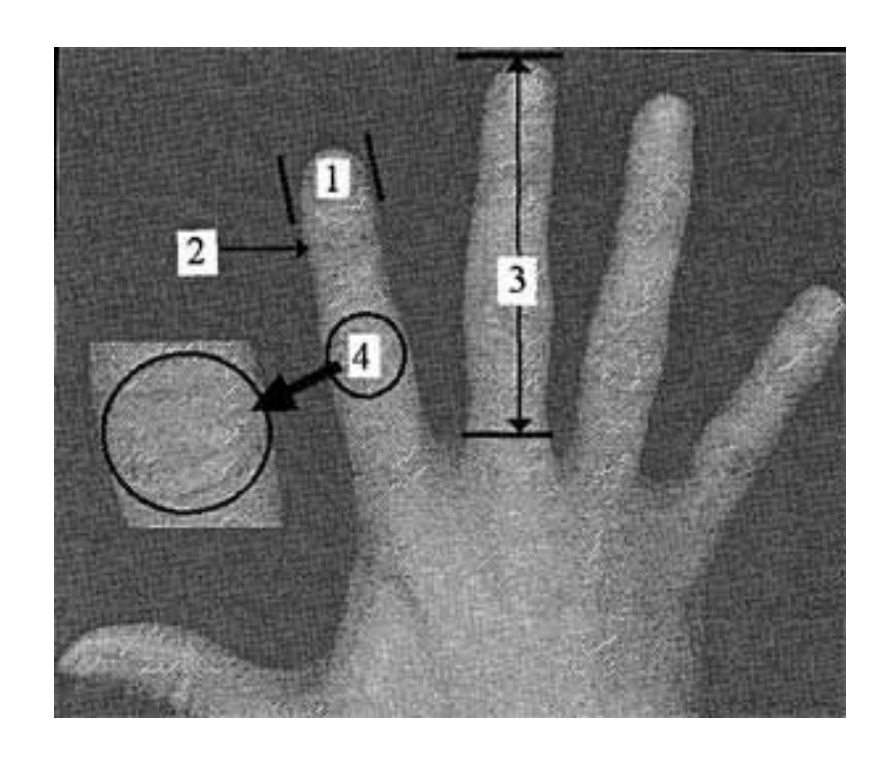
Алгоритм, основанный на методе фазовой корреляции

Алгоритм, использующий углы Харриса

Алгоритм, основанный на поиске точек разветвления

- Reddy B.S. and Chatterji B.N. An FFT-Based Technique for Translation, Rotation, and Scale-Invariant Image Registration // IEEE Transactions on Image Processing. 1996. Vol. 5. No. 8. pp. 1266-1271.
- Human recognition based on retinal images and using new similarity function / A. Dehghani [et al.] // EURASIP Journal on Image and Video Processing. 2013.
- Hortas M.O. Automatic system for personal authentication using the retinal vessel tree as biometric pattern. PhD Thesis. Universidade da Coruña. La Coruña. 2009.
- VARIA database
- MESSIDOR database

Геометрия рук



Движения глаз

- фиксация глаза на определенной точке дисплея
- момент движения яблока при перемещении взгляда с одной точки на другую

Neurotechnology

http://www.neurotechnology.com/

BIOMETRICS

Large-scale systems
Fingerprint SDKs
Face SDKs
Eye iris SDK
Voice SDK
Supported devices (152)
Deduplication service

COMPUTER VISION & A.I.

Video surveillance Robotics kit 3D face tracking SDK Object recognition SDKs 3D reconstruction SDK Gaze tracking SDK

END USER PRODUCTS

SentiVeillance Server Attendance management Face hiding in videos Gestural/voice control Check My Age

CUSTOM PROJECTS



Поведенческая биометрия

Биометрия по электрокардиограмме

Биометрия по почерку

Биометрия по походке

Биометрия по особенностям чтения

Биометрия по особенностям набора текста

Идентификация личности на основе данных о перемещениях (трекинга)

Отпечатки пальцев 3D

